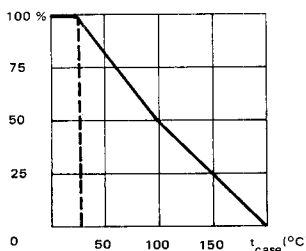


\* Preferred device  
Dispositif recommandé

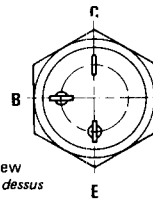
- LF large signal amplification  
*Amplification BF grands signaux*
- High current switching  
*Commutation fort courant*

$V_{CEO}$	80 V 100 V 150 V 200 V	2N 2819 2N 2820 2N 2821 2N 2822
$I_C$	25 A	
$P_{tot}$	200 W	
$R_{th} (j-c)$	1°C/W	max.
$h_{21E}$ (15 A)	10 - 50	

Dissipation derating  
*Variation de dissipation*



Case TO-63 – See outline drawing CB-70 on last pages  
Boîtier Voir dessin côté CB-70 dernières pages



Weight : 23,5 g.  
Masse

Collector is connected to case  
Le collecteur est relié au boîtier

**ABSOLUTE RATINGS (LIMITING VALUES)**  
**VALEURS LIMITES ABSOLUES D'UTILISATION**

$t_{case} = 25^\circ\text{C}$

(Unless otherwise stated)  
(Sauf indications contraires)

		2N 2819	2N 2820	2N 2821	2N 2822	
Collector-base voltage <i>Tension collecteur-base</i>	$V_{CBO}$	80	100	150	200	V
Collector-emitter voltage <i>Tension collecteur-émetteur</i>	$V_{CEO}$	80	100	150	200	V
Emitter-base voltage <i>Tension émetteur-base</i>	$V_{EBO}$	10	10	10	10	V
Collector current <i>Courant collecteur</i>	$I_C$	25	25	25	25	A
Base current <i>Courant base</i>	$I_B$	10	10	10	10	A
Power dissipation <i>Dissipation de puissance</i>	$t_{case} = 25^\circ\text{C}$	$P_{tot}$	200	200	200	W
Junction temperature <i>Température de jonction</i>	max	$t_j$	200	200	200	°C
Storage temperature <i>Température de stockage</i>	min max	$t_{stg}$	-65 +200	-65 +200	-65 +200	°C °C

**STATIC CHARACTERISTICS**  
**CARACTÉRISTIQUES STATIQUES**

$t_{amb} = 25^\circ C$

	Test conditions Conditions de mesure			Min.	Typ.	Max.
Collector-emitter cut-off current Courant résiduel collecteur-émetteur	$V_{CE} = 80 V$ $V_{BE} = -1,5 V$	$I_{CEX}$	2N 2819	2		mA
	$V_{CE} = 80 V$ $V_{BE} = -1,5 V$ $t_{case} = 150^\circ C$			20		mA
	$V_{CE} = 100 V$ $V_{BE} = -1,5 V$		2N 2820	2		mA
	$V_{CE} = 100 V$ $V_{BE} = -1,5 V$ $t_{case} = 150^\circ C$			20		mA
	$V_{CE} = 150 V$ $V_{BE} = -1,5 V$		2N 2821	2		mA
	$V_{CE} = 150 V$ $V_{BE} = -1,5 V$ $t_{case} = 150^\circ C$			20		mA
	$V_{CE} = 200 V$ $V_{BE} = -1,5 V$		2N 2822	2		mA
	$V_{CE} = 200 V$ $V_{BE} = -1,5 V$ $t_{case} = 150^\circ C$			20		mA
Emitter-base cut-off current Courant résiduel émetteur-base	$V_{EB} = 10 V$ $I_C = 0$	$I_{EBO}$			0,25	mA
Collector-emitter breakdown voltage Tension de claquage collecteur-émetteur	$I_C = 100 mA$ $I_B = 0$	$V_{(BR)CEO}^*$	2N 2819	80		V
			2N 2820	100		V
			2N 2821	150		V
			2N 2822	200		V
Static forward current transfer ratio Valeur statique du rapport de transfert direct du courant	$V_{CE} = 3 V$ $I_C = 15 A$	$h_{21E}$		10	50	
Collector-emitter saturation voltage Tension de saturation collecteur-émetteur	$I_C = 15 A$ $I_B = 2,2 A$	$V_{CEsat}^*$			1,5	V
Base-emitter saturation voltage Tension de saturation base-émetteur	$I_C = 15 A$ $I_B = 2,2 A$	$V_{BEsat}^*$			2,5	V

\* Pulsed  
Impulsions  $t_p = 300 \mu s$   $\delta \leq 2\%$

**DYNAMIC CHARACTERISTICS (for small signals)**  
**CARACTÉRISTIQUES DYNAMIQUES (pour petits signaux)**

	Test conditions <i>Conditions de mesure</i>			Min.	Typ.	Max.
Transition frequency <i>Fréquence de transition</i>	$V_{CE} = 3 \text{ V}$ $I_C = 15 \text{ A}$ $f = 1 \text{ MHz}$	$f_T$		0,6		MHz
Turn-on time <i>Temps total d'établissement</i>	$I_C = 15 \text{ A}$ $I_B = 2,2 \text{ A}$	$t_d + t_r$			3,5	$\mu\text{s}$
Fall time <i>Temps de décroissance</i>	$I_C = 15 \text{ A}$ $I_{B1} = 2,2 \text{ A}$ $I_{B2} = -2,2 \text{ A}$	$t_f$			6	$\mu\text{s}$
Carrier storage time <i>Retard à la décroissance</i>	$I_C = 15 \text{ A}$ $I_{B1} = 2,2 \text{ A}$ $I_{B2} = -2,2 \text{ A}$	$t_s$			6	$\mu\text{s}$

**THERMAL CHARACTERISTICS**  
**CARACTÉRISTIQUES THERMIQUES**

Junction-case thermal resistance <i>Résistance thermique (jonction-boîtier)</i>		$R_{th(j-c)}$		1	$^{\circ}\text{C/W}$
--	--	---------------	--	---	----------------------

\* Pulsed  
Impulsions     $t_p = 300 \mu\text{s}$     $\delta \leq 2 \%$